

- 6. *Савицкий А.П.* Жидкофазное спекание систем с взаимодействующими компонентами. Новосибирск: Наука. Сибирское отделение, 1991.
- 7. Сумм Б.Д., Горюнов Ю.В. Физико-химические основы смачивания и растекания. М: Химия, 1976.
- 8. Яценко С.П. Галлий. Взаимодействие с металлами. М.: Наука, 1974.
- 9. Иванова Р.В. Химия и технология галлия. М.: Металлургия, 1973.

УДК 544.6.018.4

## ВЛИЯНИЕ ДОПИРОВАНИЯ ЦИНКОМ НА ФИЗИКО-ХИМИЧЕСКИЕ СВОЙСТВА LaAlO<sub>3</sub>

А.В. Егорова<sup>1,2\*</sup>, К.Г. Белова<sup>1,2</sup>, И.Е. Анимица<sup>1</sup>

<sup>1</sup>Уральский федеральный университет им. Б.Н. Ельцина, Екатеринбург, Россия <sup>2</sup>Институт высокотемпературной электрохимии УрО РАН, Екатеринбург, Россия \*e-mail: anastasia.obrubova@urfu.ru

Одной из задач современного неорганического материаловедения является создание новых функциональных материалов для дальнейшего их применения в электрохимических устройствах. Важнейшие требования для таких материалов — это высокая ионная проводимость и химическая стойкость в широком интервале  $pO_2$ ,  $pH_2O$ ,  $pCO_2$ . В этом отношении хорошо изучены вещества со структурой перовскита.

Так как химическую нестойкость перовскитов по отношению к кислотным газам связывают с присутствием щелочноземельного компонента, перовскиты состава  $A^{3+}B^{3+}O_3$  являются перспективными объектами для исследований. Несмотря на то, что наибольшие значения кислород-ионной проводимости достигнуты в системах на основе галлатов, разработка новых соединений на основе алюмината LaAlO $_3$  представляется не менее важной. Алюминат лантана обладает рядом преимуществ: это недорогое сырье с более высокой термодинамической устойчивостью относительно всех перовскитов  $A^{3+}B^{3+}O_3$  из-за прочности связи Al-O; а также более широкая  $T-pO_2$  — область ионной проводимости.

Оптимизация транспортных характеристик в перовскитах, как правило, осуществляется за счет акцепторного замещения катионов в A- и/или B- подрешетках. В качестве допанта в настоящей работе используется цинк. Введение цинка в B-подрешетку LaAlO $_3$  будет приводить к образованию вакансий кислорода, так как заряд акцепторной примеси Zn' $_{Al}$  будет компенсироваться появлением соответствующего числа вакансий кислорода V" $_{o}$ . Кроме того, введение цинка улучшит спекаемость образцов и позволит получить более плотную керамику;



также присутствие цинка, в противоположность щелочноземельным элементам, не приводит к карбонизации керамики, соответственно, позволит увеличить химическую устойчивость.

Поэтому целью данной работы является аттестация физико-химических свойств твердых растворов  $LaAl_{1-x}Zn_xO_{3-1/2x}$ .

Синтез образцов LaAl<sub>1-x</sub>Zn<sub>x</sub>O<sub>3-1/2x</sub> (x=0.0-1.0), проводился по стандартной керамической технологии. Предварительно прокаленные исходные оксиды были смешаны в стехиометрических количествах. Температурный режим синтеза – от 700°С до 1200°С. После каждой стадии термообработки образцы тщательно перетирались в шаровой мельнице в среде этилового спирта в течение 2 ч. Для аттестации структуры использовали метод порошковой рентгеновской дифракции. Рентгенограммы были получены при комнатной температуре на дифрактометре Bruker D8 Advance в СиКα – излучении (напряжение 40 кВ, ток 40 мА), съемку проводили в интервале углов  $2\theta = 10^{\circ} - 80^{\circ}$  с шагом  $0.05^{\circ}\theta$ . Для уточнения кристаллической структуры фаз использовали метод полнопрофильного анализа Ритвельда с применением компьютерной программы FULLPROF и графического инструментария к ней – WinPLOTR. Установлено, что область гомогенности в системе LaAl<sub>1-x</sub>Zn<sub>x</sub>O<sub>3-1/2x</sub> небольшая и ограничивается составом в 10 мол.%. Структурные характеристики твердых растворов приведены в таблице.

**Таблица**. Структурные параметры твердых растворов LaAl<sub>1-x</sub>Zn<sub>x</sub>O<sub>3-1/2x</sub>.

$LaAl_{1-x}Zn_xO_{3-1/2x}$	Сингония	Пр. гр.	a, Å
LaAlO <sub>3</sub>			3.791
LaAl <sub>0.95</sub> Zn <sub>0.05</sub> O <sub>2.975</sub>	кубическая	Pm3m	3.785(2)
LaAl <sub>0.9</sub> Zn <sub>0.1</sub> O <sub>2.95</sub>			3.779(9)

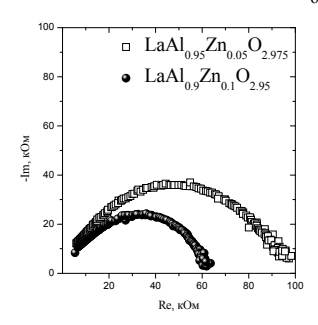
Твердые растворы на основе алюмината лантана имеют кубическую структуру подобную исходной матрице.

Методом гидростатического взвешивания была определена относительная плотность исследуемых образцов. Установлено, что цинксодержащие алюминаты лантана обладают относительной плотностью в 95-99%

Для исследований электрических свойств образцы были компактированы в виде таблеток. Электропроводность образцов была изучена методом электрохимического импеданса в частотном диапазоне от 500  $\Gamma$ ц до 1  $M\Gamma$ ц с использованием измерителя параметров импеданса Elins Impedancemeter Z-1000P. Измерение электропроводности проводили в интервале температур 200–1000°C при варьировании параметров в условиях равновесия с T,  $pO_2$ ,  $pH_2O$ .

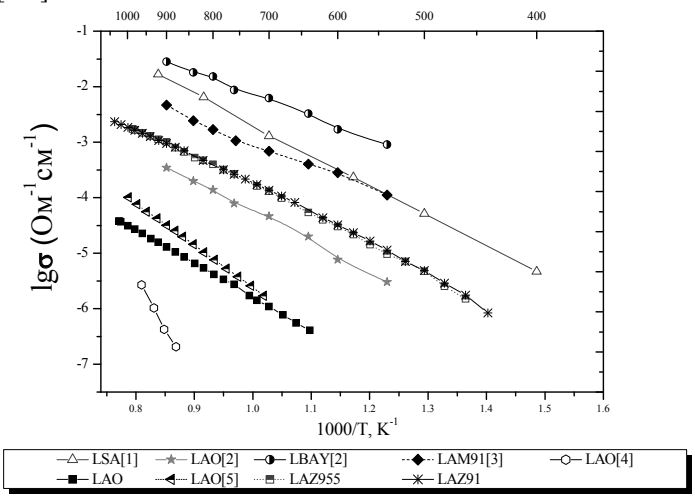


Спектры импеданса однофазных образцов, приведенные на рисунке 1, состоят из одной полуокружности, исходящей из начала координат, которую можно отнести к объемным свойствам образца, о чём подтверждают небольшие значения объемной емкости  $C_{\text{of}} \sim 10^{-11} \ \Phi.$ 



**Рисунок 1**. Годографы импеданса LaAl<sub>1-x</sub>Zn<sub>x</sub>O<sub>3-1/2x</sub> (x=0.05, 0.1), полученные в сухой атмосфере.

Годографы импеданса были обработаны с использованием компьютерных программ ZView2 и EQUIVCRT. По результатам обработки были построены температурные зависимости электропроводности исследуемых образцов. На рисунке 2 приведены политермы проводимости твердых растворов в сравнении с алюминатом лантана, полученным в рамках настоящей работы, и LaAlO<sub>3</sub>, исследованных в литературных источниках [1-5].



**Рисунок 2.** Сравнение температурных зависимостей общей электропроводности  $LaAl_{0.95}Zn_{0.05}O_{2.975}$ ,  $LaAl_{0.9}Zn_{0.1}O_{2.95}$  и  $LaAlO_3$  в сухой атмосфере.



Максимум проводимости наблюдается у образца  $LaAl_{0.9}Zn_{0.1}O_{2.95}$ . Электрические свойства также были исследованы при варьировании парциального давления паров воды в системе. Обнаружено, что значимого протонного переноса в полученных соединениях не реализуется.

Для разделения общей проводимости на парциальные вклады (ионный и электронный), исследовали электропроводность образца  $LaAl_{0.9}Zn_{0.1}O_{2.95}$  при варьировании парциального давления кислорода в интервале температур 500-900°С. Фаза проявляет кислород-ионный тип проводимости с некоторой долей электронного вклада (р-типа), который незначительно увеличивается с увеличением температуры, за счет появления дырочных дефектов в структуре.

Проводили оценку химической устойчивости твердых растворов по отношению к  $\mathrm{CO}_2$  и парам  $\mathrm{H}_2\mathrm{O}$ . После длительных измерений во атмосфере с поввышенным парциальным давлением паров воды, образец с x=0.1 был аттестован методом РФА. Установлено, что гидролизного разложения образца не происходит. По РФА предварительно обработанных в потоке газа  $\mathrm{CO}_2$  (в соотношении с воздухом (1:1) в течение 18ч.) образцов оценивали химическую устойчивость соединений к воздействию углекислого газа.

Таким образом, в настоящей работе были получены новые фазы  $LaAl_{1-x}Zn_xO_{3-1/2x}$ , область гомогенности ограничена составом с x=0.1. Введение цинка увеличивает общее значение проводимости. Твердые растворы  $LaAl_{1-x}Zn_xO_{3-1/2x}$  характеризуются высокой относительной плотностью. Кроме того, допирование повышает устойчивость керамики к углекислому газу. Таким образом, допирование цинком может быть альтернативой для акцепторного допирования.

## Список литературы

- 1. Fu Q.X. et al. // Solid State Ionics. 2006. V. 177. P. 1059–1069.
- 2. Fung K.-Z., Chen T.-Y.// Solid State Ionics. 2011. V. 188. P. 64–68.
- 3. Chen T.-Y., Fung K.-Z. // J. of Power Sources. 2004. V.132. P. 1–10.
- 4. Silva C.A., Miranda P.E.V. // J. of Hydrogen energy. 2015. V. 40.
- P. 10002-10015.
- 5. Fabiana M. et al. // J. Eur. Ceram. Soc. 2019. V. 39. P. 5298.